

Supplementary material

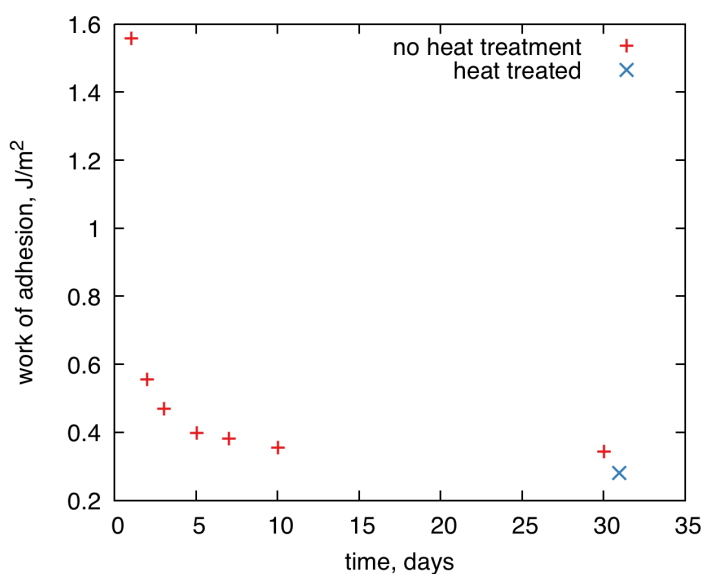


Рис. 51. Работа адгезии w как функция времени определенная по модели JKR, где время $t=0$ соответствует времени приготовления смеси ПДМС. Последнее измерение (синее перекрестие) относится к ПДМС, полученному путем термообработки при $T=60^{\circ}\text{C}$ в течение 24 часов, произведенного за 30 дней до этого. Во всех случаях работа адгезии относится к первому контакту между стеклянным шаром и образцом.

Fig. 51. The work of adhesion w as a function of time found from JKR model, where time $t=0$ corresponds to the time the PDMS mixture was prepared. The last measurement (blue point) is for the PDMS obtained by heat treatment at $T=60^{\circ}\text{C}$ for 24 hours of the PDMS prepared 30 days earlier. In all cases, the work of adhesion refers to the first contact between the glass ball and the sample.

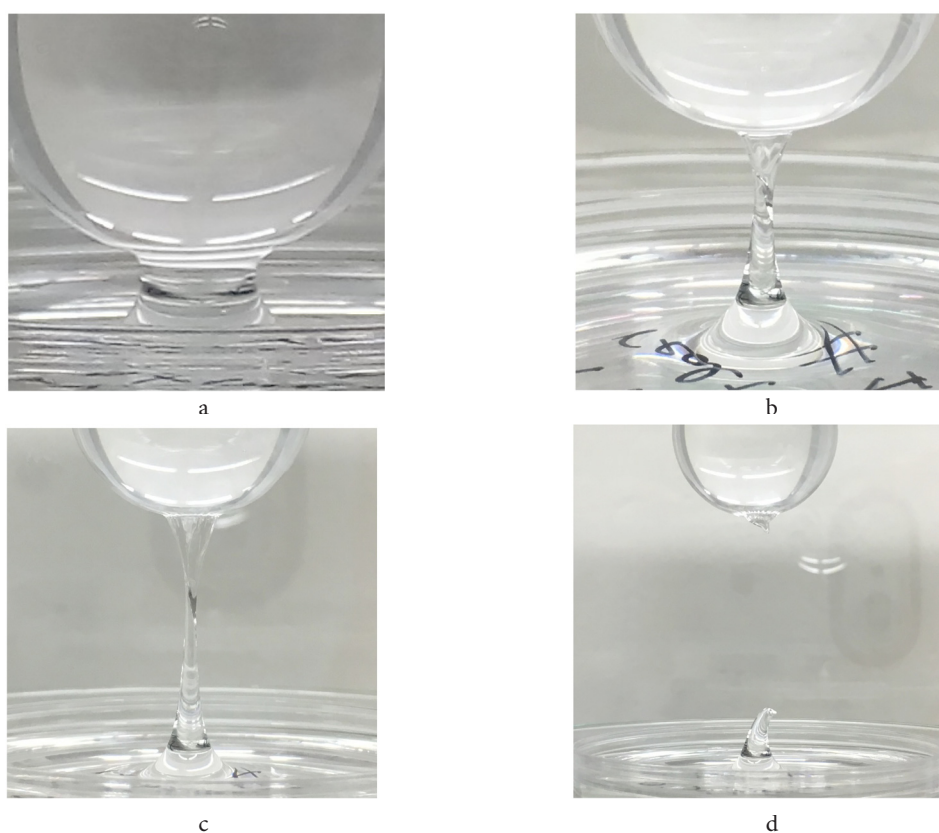


Рис. 52. Фотографические снимки контакта образца 1 во время последнего вытягивания (временной интервал $\approx 13-15$ часов): снимок при $t=13$ ч., 38 мин.(a); снимок при $t=13$ ч., 56 мин.(b); снимок при $t=14$ ч., 14 мин.(c); снимок при $t=14$ ч., 35 мин.(d).

Fig. 52. Photographic pictures of the contact for sample 1 during the last pull-off (time interval $\approx 13-15$ hours): picture taken at $t=13$ hours, 38 minutes (a); picture taken at $t=13$ hours, 56 minutes (b); picture taken at $t=14$ hours, 14 minutes (c); picture taken at $t=14$ hours, 35 minutes (d).

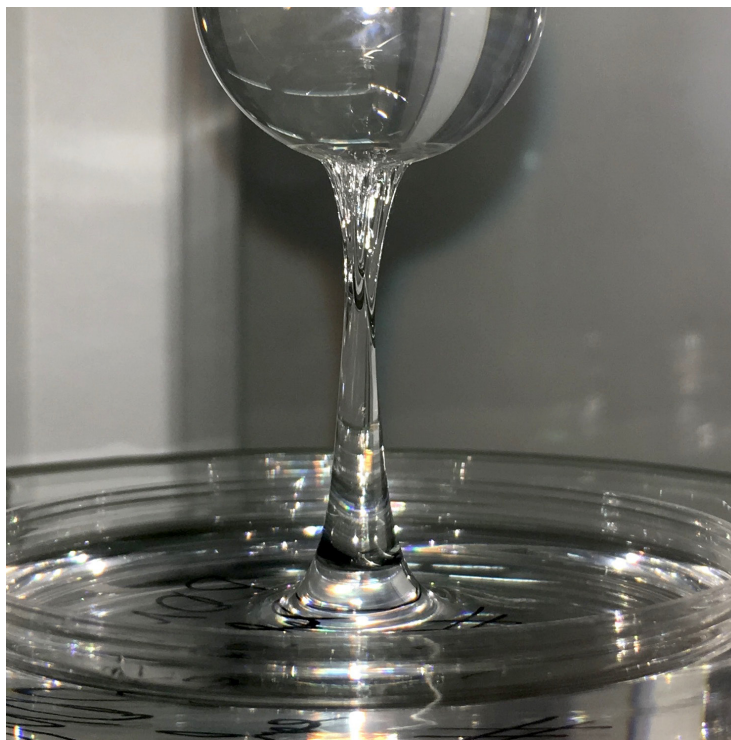


Рис. S3. Нить ПДМС, приклеившаяся к стеклянному шару близко к точке, где притягивающее взаимодействие шара к ПДМС является максимальным для образца 2 (Рис. 2).

Fig. S3. The PDMS filament glued to the glass ball close to the point where the attractive ball-PDMS interaction is maximal for sample 2 (Fig. 2).

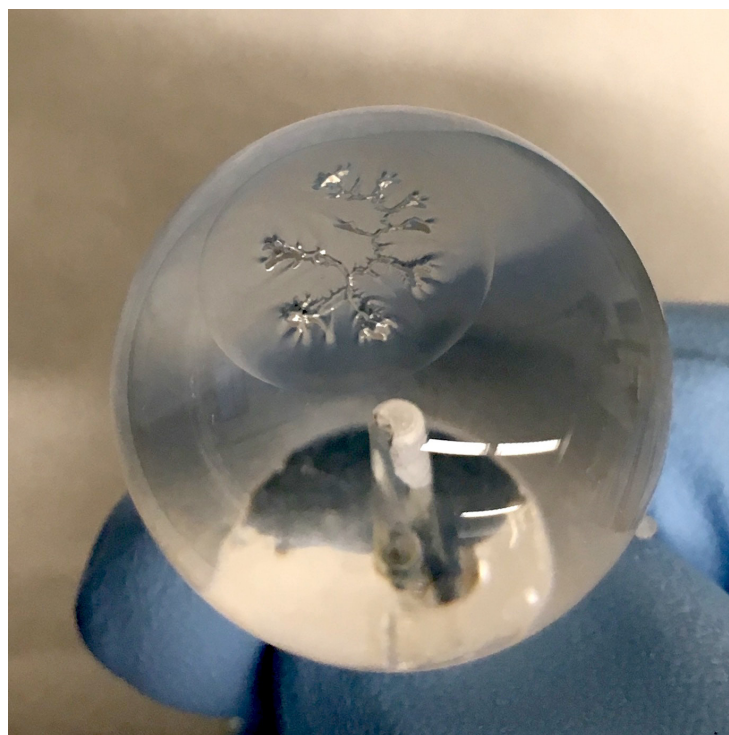


Рис. S4. «Снежинка» из ПДМС, оставленная на стеклянном шаре после измерений на образце 2 (Рис. 2).

Fig. S4. PDMS “snowflake” pattern left on the glass ball after the measurements on sample 2 (Fig. 2).